

1.1.1 量子コンピュータの歴史

- 量子力学
- 計算機科学
- 情報理論
- 暗号理論



量子力学の歴史



1920年代初頭: 量子力学誕生

1970年代: 単一量子を制御するシステムの発展

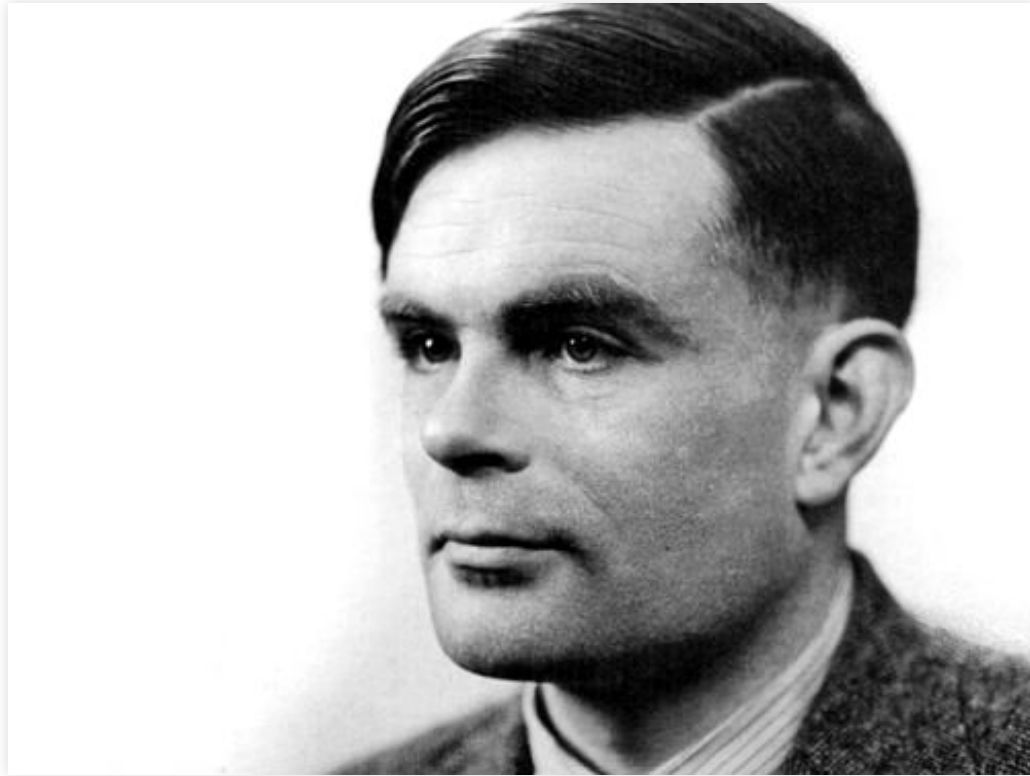
1980年代初頭: 量子複製不可能性定理

- 複製可能なら光より早く信号を送れる。

計算機科学の歴史



チューリングマシン(1936)



アラン・チューリング (Alan Turing)

チューリングマシン(1936)

計算機を数学的に議論するための単純化・理想化された仮想機械 数学的定義

ハード

- 無限長のテープ
- ヘッド
- ヘッドによる読み書きと、テープの左右へのシークを制御する機能を持つ、有限オートマトン

ソフト

- テープに読み書きされる有限個の種類の記事
- 最初から（初期状態において）テープにあらかじめ書かれている記号列
- 有限オートマトンの状態遷移規則群

チューリングマシン(1936)

有限オートマトンの状態遷移規則群

- テープの「現在の場所」に新しい記号を書き込む（あるいは、現在の記号をそのままにしてもよい）
- ヘッドを右か左に一つシークする（あるいは、移動しなくてもよい）
- 有限オートマトンを次の状態に状態遷移させる（同じ状態に遷移してもよい）

万能チューリング・マシン

- あらゆるチューリングマシンをシミュレートできるチューリングマシンが可能

トランジスタの発明(1947)

ムーアの法則

- 2年ごとに計算能力は2倍に
- 2020年ごろには終焉か
- => 新しいパラダイムの必要

チャーチ・チューリングのテーゼ(1960年代後期-)

物理的装置で実行できるアルゴリズムという概念と万能チューリングマシンの数学的概念は等価

強いチャーチ・チューリングのテーゼ(1960年代後期-)

「いかなるアルゴリズムもチューリングマシンで効率的にシミュレートできる」

↓しかし

ソロベイ・シュトラッセン素数判定法(1977)

=> ランダム性を取り入れたアルゴリズムの可能性

↓

修正された強いチャーチ・チューリングのテーゼ

「いかなるアルゴリズムも確率的チューリングマシンで効率的にシミュレートできる」



デイヴィッド・ドイッチュ David Deutsch (1985)

確率的チューリングマシンでも効率的に解けないが量子コンピュータなら解ける問題が存在することを示す。

量子コンピュータで高速に解けるアルゴリズム

ピーター・ショア Peter Shor (1995)

1. 素因数分解
2. 離散対数問題

Lov Grover (1995)

未整序DBの探索問題の高速化

Richard Feynman(1982)

古典的コンピュータで量子力学系をシミュレートするのは難しい。

量子コンピュータはそれを解決する。

=> 量子力学系のシミュレーションが量子コンピュータの主要なアプリの1つとなる。

量子コンピュータのアルゴリズムを見つけるのは難しい

- 人間の直感に反する
- 量子力学を使うだけでなく、古典的コンピュータより速いものでなければならない。

情報理論の歴史

クロード・シャノン Claude Shannon 1948

- "通信の数学的理論" (The Mathematical Theory of Communication)
- シャノンの情報源符号化定理(シャノンの第一基本定理)
 - データ圧縮の可能な限界と情報量（シャノンエントロピー）の操作上の意味を確立する定理
 - => 情報を保存するには物理的リソースが必要
- シャノンの通信路符号化定理(シャノンの第二基本定理)
 - ノイズを含む通信経路でどれだけエラーのないデータを送れるかを示す

ベン・シューマチャー Ben Schumacher (1995)

- 量子ビット (quantum bit, qubit) を定義

CSS codes (Robert Calderbank, Peter Shor, Andrew Steane) 1996

- 量子誤り訂正符号
- 古典的誤り訂正は使えない (\leq 複製不可能定理)

量子テレポテーション (quantum teleportation)

- 容量0の量子チャネルを往復させると、情報を伝えることができる。

暗号理論理論の歴史



共通鍵暗号

鍵配送問題

- 第三者によって盗聴される可能性

量子暗号(量子鍵配送)

- 観測されると盗聴者の存在が明らかになる
- 1960年代後半 Stephen Wiesnerが提案
- 1984 Charles Bennet, Gilles Brassardがプロトコルを提唱

公開鍵暗号

RSA暗号、離散対数問題はショアのアルゴリズムで破られる。

1.2 量子ビット (Qubit, Quantum bits)

1量子ビットの状態

$$|\psi\rangle = \alpha|0\rangle + \beta|1\rangle \quad (\alpha, \beta \in \mathbb{C}, |\alpha|^2 + |\beta|^2 = 1)$$

- 古典ビットの0,1 $\Rightarrow |0\rangle, |1\rangle$
- $|\rangle$: ディラック(Dirac)の記法、ブラケット記法
- 2次元複素ベクトル空間のベクトル
 - $|0\rangle, |1\rangle$ は正規直交基底
 - $|0\rangle, |1\rangle$ はcomputational basis state(計算基礎状態)
- 量子状態は観測できない $\Leftrightarrow \alpha, \beta$ は観測できない。
- 観測されるまでは、 $|0\rangle$ と $|1\rangle$ の間の連続的状態をとる。
- 観測されると確率的に0または1と観測される。

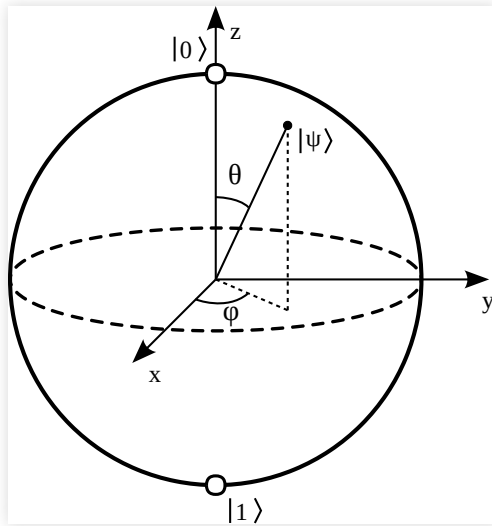
ブロッホ球 Bloch sphere

$$|\psi\rangle = \alpha|0\rangle + \beta|1\rangle \quad (\alpha, \beta \in \mathbb{C}, |\alpha|^2 + |\beta|^2 = 1)$$

$$|\psi\rangle = e^{i\gamma} \left(\cos \frac{\theta}{2} |0\rangle + e^{i\varphi} \sin \frac{\theta}{2} |1\rangle \right) \quad (\theta, \varphi \in \mathbb{R})$$

$e^{i\gamma}$ は観測可能な影響を与えない

$$|\psi\rangle = \cos \frac{\theta}{2} |0\rangle + e^{i\varphi} \sin \frac{\theta}{2} |1\rangle$$



$$\sqrt{+} = \frac{1}{\sqrt{2}}|0\rangle + \frac{1}{\sqrt{2}}|1\rangle$$

- 50%の確率で0,50%の確率で1の状態

様々な物理システムが量子ビットを実現

- 2つの異なる偏光の光子
- 平等磁界(uniform magnetic field)に置ける核スピンのアラインメント
- 単一原子を旋回する電子の状態
 - ground 基底状態
 - excited 励起状態

1.2.1 複数量子ビット Multiple qubits

2量子状態

$$|\psi\rangle = \alpha_{00}|00\rangle + \alpha_{01}|01\rangle + \alpha_{10}|10\rangle + \alpha_{11}|11\rangle$$

1つ目の量子ビットが0と観測されると

$$|\psi'\rangle = \frac{\alpha_{00}|00\rangle + \alpha_{01}|01\rangle}{\sqrt{|\alpha_{00}|^2 + |\alpha_{01}|^2}}$$

ベル状態 (Bell state, EPR pair)

$$\frac{|00\rangle + |11\rangle}{\sqrt{2}}$$

- 量子テレポテーションで重要
- 一方を測定すれば他方もわかる
- Einstein, Podolsky, Rosenが指摘

n 量子ビット

2^n 個の状態

量子ゲート

単一量子ゲート

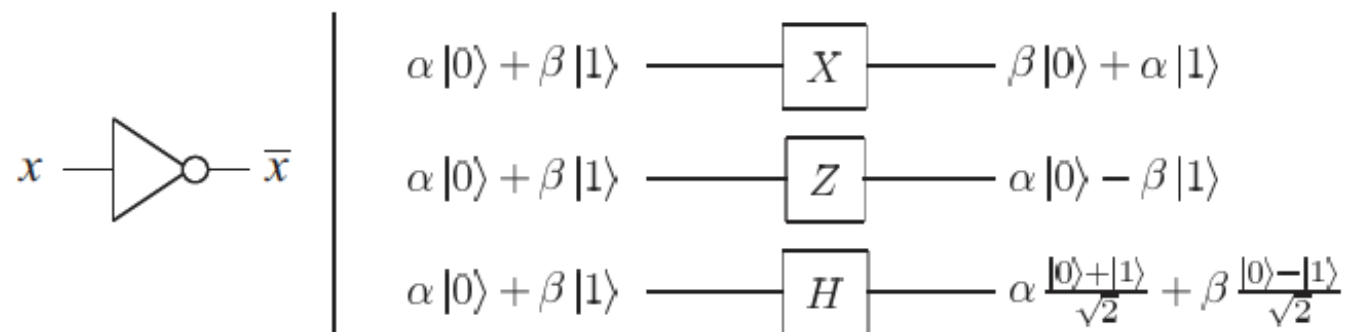


Figure 1.5. Single bit (left) and qubit (right) logic gates.

1) NOT ゲート

$$\alpha|0\rangle + \beta|1\rangle \longrightarrow \beta|0\rangle + \alpha|1\rangle$$

$$X \equiv \begin{bmatrix} 0 & 1 \\ 1 & 0 \end{bmatrix}$$

$$X \begin{bmatrix} \alpha \\ \beta \end{bmatrix} = \begin{bmatrix} \beta \\ \alpha \end{bmatrix}$$

2) Z ゲート

$$\alpha|0\rangle + \beta|1\rangle \longrightarrow \alpha|0\rangle - \beta|1\rangle$$

$$Z \equiv \begin{bmatrix} 1 & 0 \\ 0 & -1 \end{bmatrix}$$

3) Hadamardゲート (アダマールゲート)

$$\alpha|0\rangle + \beta|1\rangle \longrightarrow \alpha \frac{|0\rangle + |1\rangle}{\sqrt{2}} + \beta \frac{|0\rangle - |1\rangle}{\sqrt{2}}$$

$$H \equiv \frac{1}{\sqrt{2}} \begin{bmatrix} 1 & 1 \\ 1 & -1 \end{bmatrix}$$

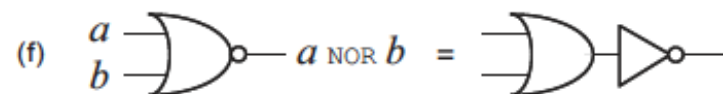
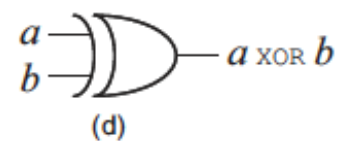
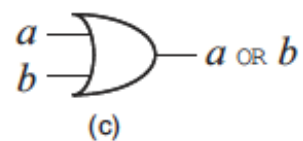
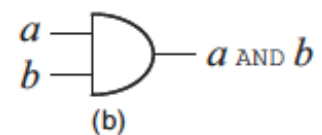
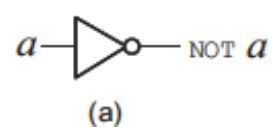
- NOTゲートの平方根と言われることもある。
- ブロッホ球で y 軸を中心に 90° 、 x 軸を中心に 180° 回転する処理

- 単一量子ゲートは2x2のユニタリ行列となる。
- 任意のユニタリ行列は量子ゲートとなる。
- 2x2のユニタリ行列は下記のように合成できる。(詳細は4.2)

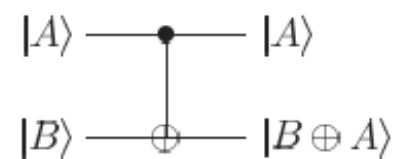
$$U = e^{i\alpha} \begin{bmatrix} e^{-\frac{i\beta}{2}} & 0 \\ 0 & e^{\frac{i\beta}{2}} \end{bmatrix} \begin{bmatrix} \cos \frac{\gamma}{2} & -\sin \frac{\gamma}{2} \\ \sin \frac{\gamma}{2} & \cos \frac{\gamma}{2} \end{bmatrix}, \begin{bmatrix} e^{-\frac{i\delta}{2}} & 0 \\ 0 & e^{\frac{i\delta}{2}} \end{bmatrix}$$

$\alpha, \beta, \gamma, \delta \in \mathbb{R}$

複数量子ゲート



controlled-NOT



$$U_{CN} = \begin{bmatrix} 1 & 0 & 0 & 0 \\ 0 & 1 & 0 & 0 \\ 0 & 0 & 0 & 1 \\ 0 & 0 & 1 & 0 \end{bmatrix}$$

古典ゲート

AND, OR, XOR, NAND, NOR

NANDゲートのみで全てのゲートを構成可能

=> ユニバーサルゲート

CNOTゲート (controlled-NOTゲート, 制御NOTゲート)

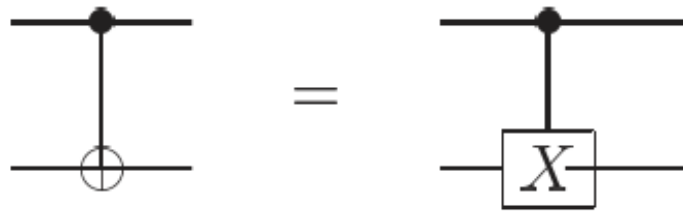


Figure 1.9. Two different representations for the controlled-NOT.

- 入力
 - コントロール量子ビット
 - ターゲット量子ビット

$|00\rangle \longrightarrow |00\rangle$
 $|01\rangle \longrightarrow |01\rangle$
 $|10\rangle \longrightarrow |11\rangle$
 $|11\rangle \longrightarrow |10\rangle$

XORを用いると次のように表現できる

$$|A, B\rangle \longrightarrow |A, B \oplus A\rangle$$

行列を用いると、

$$U_{CN} = \begin{bmatrix} 1 & 0 & 0 & 0 \\ 0 & 1 & 0 & 0 \\ 0 & 0 & 0 & 1 \\ 0 & 0 & 1 & 0 \end{bmatrix}$$

U_{CN} もユニタリ行列

$$U_{CN}^\dagger U_{CN} = I$$

任意の複数論理量子ゲートはCNOTゲートと単一量子ゲートの組み合わせで構成できる。

量子回路



ルール

- 右から左に読む
- 回路の入力は基本的には全て $|0\rangle$

特徴

- 非周期的(acyclic) - ループできない
- FANINできない
 - 出力数以上の入力量子ビットを扱うゲートは作れない
- FANOUTできない
 - 出力を複製できない(量子複製不可能性定理)

スワッピング回路

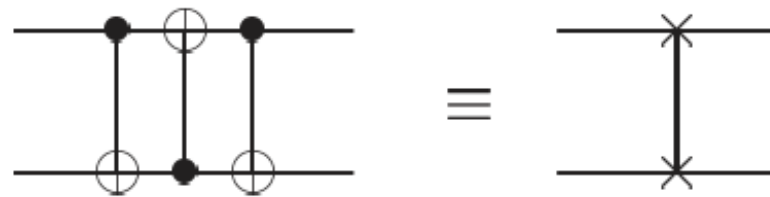
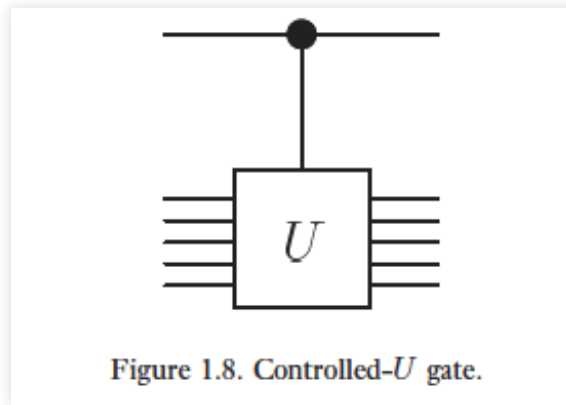


Figure 1.7. Circuit swapping two qubits, and an equivalent schematic symbol notation for this common and useful circuit.

$$\begin{aligned} &|a, b\rangle \\ &\longrightarrow |a, a \oplus b\rangle \\ &\longrightarrow |a \oplus (a \oplus b), a \oplus b\rangle = |b, a \oplus b\rangle \\ &\longrightarrow |b, (a \oplus b) \oplus b\rangle = |b, a\rangle \end{aligned}$$

controlled-Uゲート



- 入力
 - 1コントロール量子ビット
 - n ターゲット量子ビット

コントロール量子ビットが0の時、ターゲット量子ビットは変化しない

コントロール量子ビットが1の時、 n 個の量子ビットに対してユニタリ行列 U を作用させる

測定



Figure 1.10. Quantum circuit symbol for measurement.

量子ビット $|\psi\rangle$ を測定して古典ビット M に変換

二重線は古典ビットを示す

$$|\psi\rangle = \alpha|0\rangle + \beta|1\rangle$$

のとき、 α^2 の確率で 0 に β^2 の確率で 1 に変換される。

量子ビットをコピーする回路は可能か？

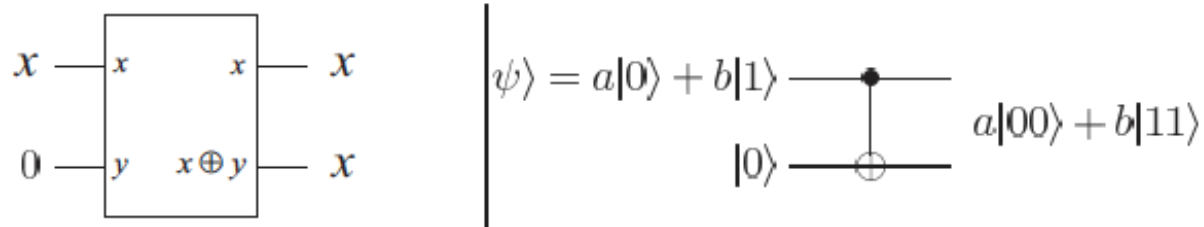


Figure 1.11. Classical and quantum circuits to 'copy' an unknown bit or qubit.

不可能

$$a|00\rangle + b|11\rangle$$

- 1つの量子ビットが確定するともう1つも確定する。
- a と b に関する追加の情報は得られない。
- コピーできれば、 $a|0\rangle + b|1\rangle$ を複数回観測できるので、 a と b に関する追加の情報を得れる。

Bell状態 (EPR状態, EPRペア)

- Bell, Einstein, Podolsky, Rosen

In	Out
$ 00\rangle$	$(00\rangle + 11\rangle)/\sqrt{2} \equiv \beta_{00}\rangle$
$ 01\rangle$	$(01\rangle + 10\rangle)/\sqrt{2} \equiv \beta_{01}\rangle$
$ 10\rangle$	$(00\rangle - 11\rangle)/\sqrt{2} \equiv \beta_{10}\rangle$
$ 11\rangle$	$(01\rangle - 10\rangle)/\sqrt{2} \equiv \beta_{11}\rangle$

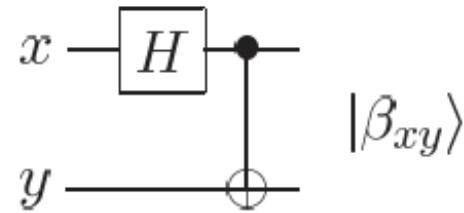


Figure 1.12. Quantum circuit to create Bell states, and its input–output quantum ‘truth table’.

$$|\beta_{00}\rangle = \frac{|00\rangle + |11\rangle}{\sqrt{2}}$$

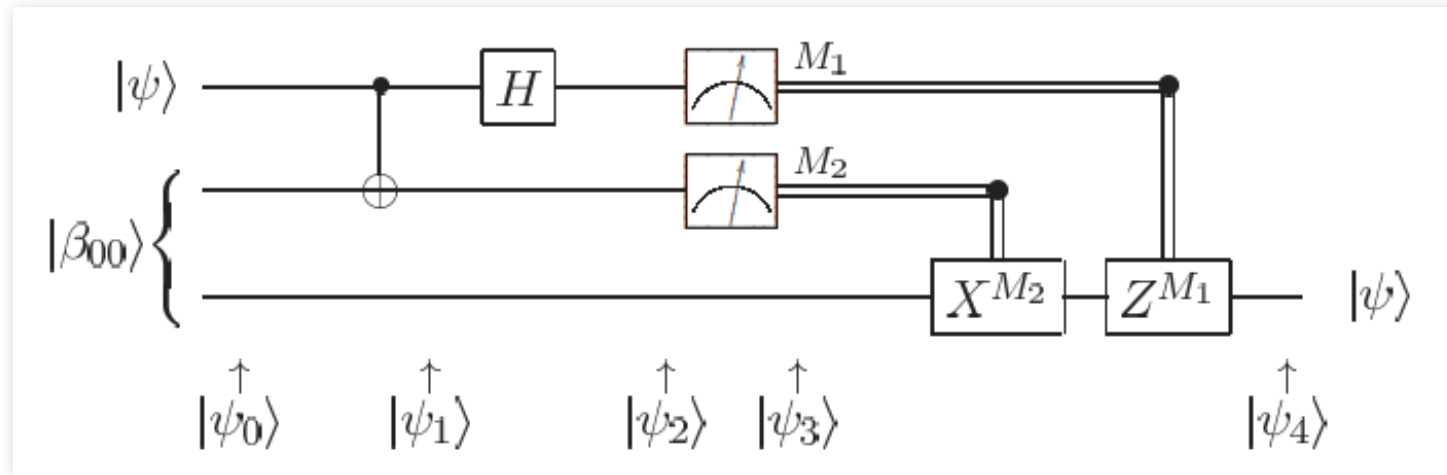
$$|\beta_{01}\rangle = \frac{|01\rangle + |10\rangle}{\sqrt{2}}$$

$$|\beta_{10}\rangle = \frac{|00\rangle - |11\rangle}{\sqrt{2}}$$

$$|\beta_{11}\rangle = \frac{|01\rangle - |10\rangle}{\sqrt{2}}$$

$$\implies |\beta_{xy}\rangle = \frac{|0, y\rangle + (-1^x) |1, \bar{y}\rangle}{\sqrt{2}}$$

量子テレポーション



上の2量子ビットをアリスが所有し、下の1量子ビットをボブが所有する。

アリスは2つの量子ビットを測定し、その結果をボブに伝えることにより、ボブに一番上の量子ビットを伝えることができる。

→ EPRペアをシェアして、2つの古典ビットを伝えることで量子ビットを伝えることができる

→ 異なる量子系のリソースの可換性を示す。

$$|\psi\rangle = \alpha|0\rangle + \beta|1\rangle$$

$$|\beta_{00}\rangle = \frac{|00\rangle + |11\rangle}{\sqrt{2}}$$

$$|\psi_0\rangle$$

$$= |\psi\rangle |\beta_{00}\rangle$$

$$= (\alpha|0\rangle + \beta|1\rangle) \left(\frac{|00\rangle + |11\rangle}{\sqrt{2}} \right)$$

$$= \frac{1}{\sqrt{2}} [\alpha|0\rangle (|00\rangle + |11\rangle) + \beta|1\rangle (|00\rangle + |11\rangle)]$$

$$|\psi_1\rangle = \frac{1}{\sqrt{2}}[\alpha|0\rangle(|00\rangle + |11\rangle) + \beta|1\rangle(|10\rangle + |01\rangle)]$$

$$\because CNOT : |00\rangle \longrightarrow |00\rangle, |01\rangle \longrightarrow |01\rangle, |10\rangle \longrightarrow |11\rangle, |11\rangle \longrightarrow |10\rangle$$

$$|\psi_2\rangle = \frac{1}{\sqrt{2}} \left[\alpha \frac{|0\rangle + |1\rangle}{\sqrt{2}} (|00\rangle + |11\rangle) + \beta \frac{|0\rangle - |1\rangle}{\sqrt{2}} (|10\rangle + |01\rangle) \right]$$

$$\because H : \alpha'|0\rangle + \beta'|1\rangle \longrightarrow \alpha' \frac{|0\rangle + |1\rangle}{\sqrt{2}} + \beta' \frac{|0\rangle - |1\rangle}{\sqrt{2}}$$

$$= \frac{1}{2} [\alpha (|0\rangle + |1\rangle) (|00\rangle + |11\rangle) + \beta (|0\rangle - |1\rangle) (|10\rangle + |01\rangle)]$$

$$= \frac{1}{2} [|00\rangle (\alpha|0\rangle + \beta|1\rangle) + |01\rangle (\alpha|1\rangle + \beta|0\rangle) + |10\rangle (\alpha|0\rangle - \beta|1\rangle) + |11\rangle (\alpha|1\rangle - \beta|0\rangle)]$$

前方2量子ビット観測

$$|\psi_3(00)\rangle \equiv [\alpha|0\rangle + \beta|1\rangle]$$

$$|\psi_3(01)\rangle \equiv [\alpha|1\rangle + \beta|0\rangle]$$

$$|\psi_3(10)\rangle \equiv [\alpha|0\rangle - \beta|1\rangle]$$

$$|\psi_3(11)\rangle \equiv [\alpha|1\rangle - \beta|0\rangle]$$

古典ビット伝達

$$|\psi_4(00)\rangle$$

$$= Z^0 X^0 |\psi_3(00)\rangle = [\alpha|0\rangle + \beta|1\rangle] = |\psi\rangle$$

$$|\psi_4(01)\rangle$$

$$= Z^0 X^1 |\psi_3(01)\rangle = X[\alpha|1\rangle + \beta|0\rangle] = [\alpha|0\rangle + \beta|1\rangle] = |\psi\rangle$$

$$|\psi_4(10)\rangle$$

$$= Z^1 X^0 |\psi_3(10)\rangle = Z[\alpha|0\rangle - \beta|1\rangle] = [\alpha|0\rangle + \beta|1\rangle] = |\psi\rangle$$

$$|\psi_4(11)\rangle$$

$$= Z^1 X^1 |\psi_3(11)\rangle = ZX[\alpha|1\rangle - \beta|0\rangle] = [\alpha|0\rangle + \beta|1\rangle] = |\psi\rangle$$

- 光より早く情報は伝わらない
 - 古典的コミュニケーションで古典ビットを伝える必要があるため
- 量子ビットのコピーは作れない
 - アリスの $|\psi\rangle$ は失われてしまう